

УДК 532.516

## ТЕЧЕНИЕ МИКРОПОЛЯРНЫХ И ВЯЗКОПЛАСТИЧЕСКИХ ЖИДКОСТЕЙ В ЯЧЕЙКЕ ХЕЛЕ-ШОУ

В. В. Шелухин, В. В. Неверов

Институт гидродинамики им. М. А. Лаврентьева СО РАН, 630090 Новосибирск, Россия  
Новосибирский государственный университет, 630090 Новосибирск, Россия  
E-mails: shelukhin@list.ru, NeverovVladim@gmail.com

Для течений в тонком слое получено обобщение закона Дарси, связывающего среднюю по поперечной координате скорость и градиент давления. С учетом микровращений и предельного напряжения сдвига выведен нелинейный закон Дарси с предельным градиентом. Показано, что микрополярность жидкости проявляется в увеличении кажущейся вязкости и предельного градиента давления. Получено обобщение закона Дарси на случай псевдопластических и дилатантных жидкостей Хершеля — Балкли.

**Ключевые слова:** микрополярная вязкопластическая жидкость, предельное напряжение сдвига, ячейка Хеле-Шоу, обобщенный закон Дарси.

**Введение.** Ряд природных сред и искусственных материалов (лавины, гранулированные жидкости, кровь, текущая в капиллярах, буровой раствор со шламом при бурении скважин и т. п.) характеризуются микрополярностью и вязкопластичностью. В работе [1] предложена математическая модель, учитывающая оба этих свойства. Под микрополярностью понимается наличие микровращений и микровращательной инерции (например, движение жидких кристаллов). В рамках теории жидкости Бингама вязкопластичность означает существование предельного напряжения сдвига: движение жидкости становится твердотельным, если сдвиговые напряжения не превышают некоторого предела.

Целью данной работы является исследование течения микрополярной вязкопластической жидкости в тонком слое. Подобная задача возникает, например, при заполнении трещины гидроразрыва пласта пропантом [2]. В классической теории вязкопластических жидкостей рассматривается только одно предельное напряжение сдвига  $\tau_*$ , так как локальные напряжения характеризуются только тензором напряжений Коши  $T$ . Однако, для того чтобы описать напряжения в микрополярной жидкости, необходимо дополнительно использовать тензор моментных напряжений  $N$ , поэтому в работе [1] введено предельное моментное напряжение  $\tau_n$ . Локальные деформации в микрополярной жидкости также характеризуются двумя тензорами скоростей деформаций, с помощью которых можно вычислить градиент поля скорости и градиент поля мгновенной угловой скорости. Оба тензора скоростей деформаций должны обращаться в нуль в “сильной” твердотельной зоне. В отличие от классической жидкости Бингама в микрополярной жидкости Бингама могут присутствовать и “слабые” твердотельные зоны, в которых равен нулю только второй тензор скоростей деформаций, т. е. градиент угловой скорости, но первый тензор скоростей

деформаций может быть отличным от нуля. В [1] существование “слабой” твердотельной зоны показано численно, а в данной работе этот факт устанавливается аналитическими методами. Кроме того, в настоящей работе в предположении, что толщина слоя течения является малой, получен обобщенный закон Дарси, связывающий градиент давления и среднюю по толщине скорость течения. В отличие от закона, полученного в рамках теории смазки [2], обобщенный закон Дарси является нелинейным. Для жидкости Бингама и Хершеля — Балкли установлено наличие предельного градиента давления  $p_l$ : течение отсутствует, если модуль градиента давления не превышает величину  $p_l$ . Влияние микровращений проявляется в том, что с увеличением вращательной вязкости увеличиваются как эффективная вязкость, так и предельный градиент давления  $p_l$ .

Течения неньютоновских жидкостей в ячейке Хеле-Шоу имеют различные применения (литье под давлением [3], сенсорные дисплеи [4] и т. д.). Такие течения жидкостей со степенной вязкостью рассматривались во многих работах (см., например, [5]), но в них не учитывались предельное напряжение сдвига и микровращения.

Теория микрополярных жидкостей для сплошной среды Коссера [6] изложена в [7]. Существует несколько подходов к описанию жидкости Бингама. В отличие от пионерской работы [8] в данной работе используется метод, развитый в [9–13].

**Определяющие уравнения.** Подобно твердому телу частица среды Коссера имеет шесть степеней свободы. Каждой материальной точке с лагранжевыми координатами  $(t, \boldsymbol{\xi})$  соответствуют вектор эйлеровых координат  $\boldsymbol{x}(t, \boldsymbol{\xi})$  и тройка взаимно ортогональных векторов-директоров  $\boldsymbol{d}_i(t, \boldsymbol{\xi})$ ,  $i = 1, 2, 3$ . Ориентация директоров определяется ортогональным тензором  $Q(t, \boldsymbol{\xi})$ , а их скорость вращения характеризуется тензором  $\Omega(t, \boldsymbol{x}) = Q_t Q^*$ . Тензор  $\Omega$  является антисимметричным и определяет локальное вращение с угловой скоростью

$$\boldsymbol{w} = (1/2) \boldsymbol{e}_i \times \Omega \langle \boldsymbol{e}_i \rangle = (1/2) \boldsymbol{\epsilon} : \Omega,$$

где  $\{\boldsymbol{e}_i\}_1^3$  — ортонормированный базис;  $\boldsymbol{\epsilon}$  — тензор Леви-Чивиты третьего ранга;  $\boldsymbol{e}_i \times \boldsymbol{e}_j = \epsilon_{sij} \boldsymbol{e}_s$ ;  $(\boldsymbol{\epsilon} : \Omega)_i \equiv \epsilon_{ijk} \Omega_{jk}$ .

Для матриц  $A$  и  $B$  размерности  $3 \times 3$  скалярное произведение  $A : B$  определяется формулой  $A : B = A_{ij} B_{ij}$ , а матрица  $A^*$  в ортонормированном базисе совпадает с транспонированной. Пусть  $\boldsymbol{v}(t, \boldsymbol{x})$  — поле скорости, которое в переменных Лагранжа совпадает с производной  $\boldsymbol{x}_t(t, \boldsymbol{\xi})$ . Тогда тензоры  $B = \partial \boldsymbol{v} / \partial \boldsymbol{x} - \Omega$ ,  $A = \partial \boldsymbol{w} / \partial \boldsymbol{x}$  являются тензорами скоростей деформаций,  $A_{ij} = \partial \omega_i / \partial x_j$ . Отметим, что тензоры  $B$  и  $A$  объективны по отношению к трансляциям и поворотам [7].

Законы сохранения масс и импульса имеют вид

$$\dot{\rho} + \rho \operatorname{div} \boldsymbol{v} = 0, \quad \rho \dot{\boldsymbol{v}} - \operatorname{div} T = \rho \boldsymbol{f},$$

где  $(\operatorname{div} T)_i = \partial T_{ij} / \partial x_j$ ;  $\rho$  — массовая плотность;  $\boldsymbol{f}$  — плотность массовых сил; точка означает материальную производную. В уравнении момента импульса

$$\rho \dot{\boldsymbol{s}} - \operatorname{div} N = \boldsymbol{\epsilon} : T^* + \rho \boldsymbol{l}$$

величина  $\boldsymbol{s}$  есть плотность момента импульса,  $\boldsymbol{l}$  — плотность пар внешних сил. Следует отметить, что тензор напряжений Коши  $T$  не является симметричным. В общем случае  $\boldsymbol{s} = \Theta \boldsymbol{w}$ , где  $\Theta$  — симметричный тензор микроинерции, удовлетворяющий уравнению  $\dot{\Theta} - \Omega \Theta + \Theta \Omega = 0$ .

В отсутствие внешних источников тепла изменение полной энергии  $E$  описывается уравнением

$$\rho \dot{E} = \operatorname{div} (T^* \boldsymbol{v} + N^* \boldsymbol{w} - \boldsymbol{q}) + \rho \boldsymbol{f} \cdot \boldsymbol{v} + \rho \boldsymbol{l} \cdot \boldsymbol{w},$$

где  $E = e + \boldsymbol{v} \cdot \boldsymbol{v} / 2 + \boldsymbol{s} \cdot \boldsymbol{w} / 2$ ;  $e$  — удельная внутренняя энергия;  $\boldsymbol{q}$  — приток тепла, задаваемый законом Фурье. В общем случае  $e = e(\eta, \rho, \Theta)$ , где  $\eta$  — удельная энтропия.

Вводя давление  $p = \rho^2 \partial \epsilon / \partial \rho$  и температуру  $\theta = \partial \epsilon / \partial \eta$ , уравнение изменения энтропии можно записать в виде

$$\theta \rho \dot{\eta} + \operatorname{div} \mathbf{q} = R,$$

где  $R$  — производство энтропии:

$$\theta R = S : B^d + (p + m) \operatorname{tr} B + N : A - \frac{\mathbf{q} \cdot \nabla \theta}{\theta}.$$

Здесь  $3m = \operatorname{tr} T$ ;  $T = S + mI$ ;  $B^d = B - 3^{-1}(\operatorname{tr} B)I$ . Ниже рассматривается случай несжимаемой жидкости, для которой  $\operatorname{tr} B = 0$ , поэтому необходимое условие неотрицательности производства энтропии сводится к неравенству  $S : B + N : A \geq 0$ .

В работе [1] определяющие уравнения, совместные с указанным неравенством, сформулированы следующим образом. Пусть  $B_s, B_a$  — симметричная и антисимметричная части тензора  $B$ . Введем обозначения

$$B_0 \equiv B_s + \varepsilon B_a, \quad \varepsilon = \frac{\mu_2}{2\mu_1}, \quad A_0 = A_s^d + \frac{\varkappa_2}{\varkappa_1} A_a + \frac{\varkappa_3}{\varkappa_1} (\operatorname{tr} A)I.$$

С помощью субдифференциалов определяющие уравнения микрополярной вязкопластической жидкости Бингама записываются в виде

$$S \in \partial V(B_0), \quad N \in \partial V_n(A_0), \quad (1)$$

где

$$V = \mu_1 |B_0|^2 + \tau_* |B_0|, \quad V_n = (\varkappa_1/2) |A_0|^2 + \tau_n |A_0|.$$

По определению включение  $S \in \partial V(B_0)$  означает  $S : (X - B_0) \leq V(X) - V(B_0)$  для любой матрицы  $X$  размерности  $3 \times 3$ .

Из (1) следует эквивалентная формулировка

$$S = \begin{cases} 2\mu_1 B_s + \mu_2 B_a + \tau_* B_0 / |B_0|, & B_0(t, \mathbf{x}) \neq 0, \\ S_p(t, \mathbf{x}), & B_0(t, \mathbf{x}) = 0, \end{cases}$$

$$N = \begin{cases} \varkappa_1 A_s^d + \varkappa_2 A_a + \varkappa_3 (\operatorname{tr} A)I + \tau_n A_0 / |A_0|, & A_0(t, \mathbf{x}) \neq 0, \\ N_p(t, \mathbf{x}), & A_0(t, \mathbf{x}) = 0. \end{cases}$$

Тензоры  $S_p$  и  $N_p$  удовлетворяют условиям  $|S_p| \leq \tau_*$ ,  $|N_p| \leq \tau_n$ , где  $|S|^2 \equiv S : S$ . Заметим, что при  $\mu_2 = 0$  приведенная выше модель сводится к классической модели жидкости Бингама, так как  $B_s = D$ ,  $2D_{ij} = \partial v_i / \partial x_j + \partial v_j / \partial x_i$ . Приведенные определяющие уравнения нетрудно обобщить на случай жидкости Хершеля — Балкли, в которой вязкость  $\mu_1$  не является постоянной, а зависит от тензора  $D$ .

**Течение в отсутствие градиента давления.** В предположении, что градиент давления отсутствует, рассмотрим одномерное течение микрополярной жидкости Бингама вдоль оси  $x_1 = x$  между двумя параллельными плоскостями, расстояние между которыми равно  $2H$ . В данном случае причинами возникновения течения являются граничные микровращения и движение граничных плоскостей. В случае, когда ось  $x_2 = y$  направлена перпендикулярно граничным плоскостям, искомые характеристики течения определяются соотношениями

$$\mathbf{v} = (v(y), 0, 0)^T, \quad \mathbf{w} = (0, 0, w(y))^T,$$

$$S_{12} = S_{12}(y), \quad S_{21} = S_{21}(y), \quad N_{32} = N_{32}(y), \quad N_{23} = N_{23}(y),$$

остальные компоненты тензоров  $S$  и  $N$  равны нулю. Введем следующие обозначения:

$$\gamma = \frac{\varkappa_1 + \varkappa_2}{2}, \quad \tau_{n1} = \frac{\tau_n(\varkappa_1 + \varkappa_2)}{2(\varkappa_1^2 + \varkappa_2^2)}.$$

Как показано в работе [1], в слое  $-H < y < H$  течение описывается уравнениями

$$0 = \partial_y S_{12}, \quad 0 = \partial_y N_{32} + S_{21} - S_{12}; \quad (2)$$

$$S_{12} = 2\mu_1 \left( \frac{\partial_y v}{2} + \varepsilon \left( \frac{\partial_y v}{2} + w \right) \right) + \frac{\tau_*}{b} \left( \frac{\partial_y v}{2} + \varepsilon \left( \frac{\partial_y v}{2} + w \right) \right), \quad b \neq 0,$$

$$S_{21} = 2\mu_1 \left( \frac{\partial_y v}{2} - \varepsilon \left( \frac{\partial_y v}{2} + w \right) \right) + \frac{\tau_*}{b} \left( \frac{\partial_y v}{2} - \varepsilon \left( \frac{\partial_y v}{2} + w \right) \right), \quad b \neq 0;$$

$$N_{32} = \gamma \partial_y w + \tau_{n1} \operatorname{sign} \partial_y w, \quad \partial_y w \neq 0; \quad (3)$$

$$S_{12}^2 + S_{21}^2 \leq \tau_*^2, \quad N_{32}^2 \leq \tau_{n1}^2, \quad b = 0,$$

где

$$\varepsilon = \frac{\mu_2}{2\mu_1}, \quad \frac{b^2}{2} = \left( \frac{\partial_y v}{2} \right)^2 + \varepsilon^2 \left( \frac{\partial_y v}{2} + w \right)^2.$$

Рассмотрим краевые условия

$$v|_{y=\pm H} = 0, \quad w|_{y=\pm H} = \pm w_1 \quad (w_1 > 0). \quad (4)$$

Условия (4) позволяют искать решение, для которого функция  $v(y)$  является четной, а  $w(y)$  — нечетной. В данном случае  $b(y)|_{y=0} = 0$ , поэтому естественно предположить, что в течении имеется некоторая “сильная” твердотельная зона  $|y| < h$  ( $h < H$ ), в которой  $w(y) = 0$ ,  $v(y) = \operatorname{const}$ .

Из уравнений (2) следует, что  $S_{12} = \operatorname{const}$ . В то же время вследствие симметрии течения силы сопротивления, действующие на жидкий объем  $|y| < h$ , в точках  $y = h$  и  $y = -h$  должны быть равны:  $S_{12}(-h) = -S_{12}(h)$ . Поэтому  $S_{12} = 0 \forall x$ . Отсюда, в частности, следует

$$\partial_y v = -\frac{2\varepsilon w}{1 + \varepsilon}; \quad (5)$$

$$S_{21} = -\frac{4\mu_1 \varepsilon w}{1 + \varepsilon} - \tau_* \operatorname{sign} w, \quad N_{32} = \gamma \partial_y w + \tau_{n1} \operatorname{sign} \partial_y w, \quad \partial_y w \neq 0. \quad (6)$$

В жидкой зоне  $h < y < H$  выполняются равенства

$$S_{12} = 0, \quad S_{21} = -\frac{4\mu_1 \varepsilon w}{1 + \varepsilon} - \tau_*, \quad N_{32} = \gamma \partial_y w + \tau_{n1}.$$

Кроме того, в силу непрерывности функции  $N_{32}(y)$  выполняется равенство  $\partial_y w|_{y=h} = 0$ . Таким образом, функция  $w$  является решением краевой задачи

$$0 = \partial_y^2 w - \lambda^2 w - \tau_*/\gamma, \quad w|_{y=h} = 0, \quad \partial_y w|_{y=h} = 0, \quad w|_{y=H} = w_1$$

с неизвестным параметром  $h$ , где  $\lambda^2 = 4\mu_1 \varepsilon / [\gamma(1 + \varepsilon)]$ .

Введем обозначения

$$w_h = \tau_*(1 + \varepsilon)/(4\mu_1 \varepsilon), \quad w_H = w_1 + w_h.$$

Тогда решение имеет вид

$$w = -w_h + \frac{w_H \operatorname{sh} \lambda(y - h) + w_h \operatorname{sh} \lambda(H - y)}{\operatorname{sh} \lambda(H - h)}, \quad h < y < H.$$

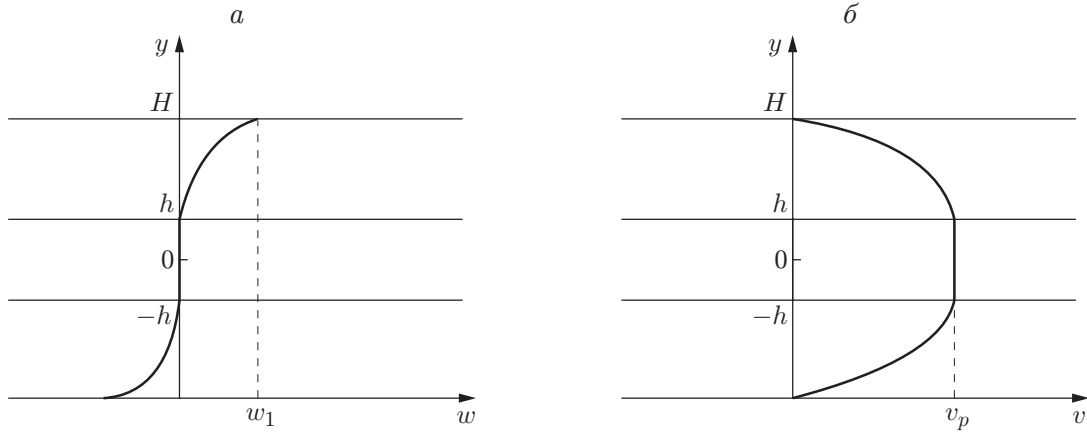


Рис. 1. Профили спина (а) и скорости (б) для течения с “сильной” твердотельной зоной при краевых условиях  $w|_{y=\pm H} = \pm w_1$ ,  $w_1 > 0$ ,  $v|_{y=\pm H} = 0$

Отсюда, в частности, следует, что  $w > 0$  при  $h < y < H$ . Условие  $\partial_y w|_{y=h} = 0$  приводит к равенству

$$\operatorname{ch} \lambda(H - h) = \frac{w_H}{w_h} \equiv 1 + \frac{w_1}{w_h}, \quad (7)$$

из которого однозначно определяется толщина твердотельной зоны. Отметим, что условие (7) накладывает ограничение на граничный спин:  $w_1 < (\operatorname{ch} \lambda H - 1)w_h \equiv w_1^*$ ; при  $w_1 = w_1^*$  толщина твердотельного слоя  $h$  равна нулю, и в силу равенства (6) функция  $S_{21}(y)$  имеет разрыв при  $y = 0$ . При  $w_1 = 0$  толщина твердотельной зоны принимает значение  $H$ , поэтому течение отсутствует.

В жидком слое  $-H < y < -h$  функция  $w(y)$  восстанавливается путем ее продолжения с помощью нечетной функции. Затем определяется скорость в виде представления

$$v(y) = \frac{2\varepsilon}{1 + \varepsilon} \int_y^H w dy, \quad h < y < H,$$

следующего из (5) и (4). В частности, в твердотельной зоне  $|y| \leq h$  выражение для скорости записывается в виде

$$v_p = -\frac{\tau_*(H - h)}{2\mu_1} + \frac{\operatorname{ch} \lambda(H - h) - 1}{\operatorname{sh} \lambda(H - h)} \left( w_1 + \frac{\tau_*(1 + \varepsilon)}{2\mu_1\varepsilon} \right) \sqrt{\frac{\gamma\varepsilon}{\mu_1(1 + \varepsilon)}}.$$

Функции  $S_{21}$  и  $N_{32}$  в жидких зонах восстанавливаются по формулам (6). Так как  $\partial_y w > 0$  при  $|y| > h$ , то  $\partial_y^2 v < 0$  при  $|y| > h$ . Эти условия определяют форму профилей скорости и спина, которые приведены на рис. 1.

Путем интегрирования выражения для локальной скорости находим среднюю скорость

$$U \equiv \frac{1}{2H} \int_{-H}^H v dy = -\frac{\tau_*(H^2 - h^2)}{2\nu_1} + w_h a + w_H b,$$

где

$$a = \frac{4\varepsilon}{\lambda(1 + \varepsilon) \operatorname{sh} \lambda(H - h)} \left[ h \operatorname{ch} \lambda(H - h) - H + \frac{\operatorname{sh} \lambda(H - h)}{\lambda} \right],$$

$$b = \frac{4\varepsilon}{\lambda(1+\varepsilon)\operatorname{sh}\lambda(H-h)} \left[ H \operatorname{ch}\lambda(H-h) - h - \frac{\operatorname{sh}\lambda(H-h)}{\lambda} \right].$$

Следовательно, при малых  $\varepsilon$  справедливо представление

$$U = \frac{w_1}{2} \sqrt{\frac{\varepsilon\gamma}{\mu_1(1+\varepsilon)}} \operatorname{Arch} \left( 1 + \frac{\mu_1\varepsilon w_1}{\tau_*(1+\varepsilon)} \right) + o(\varepsilon),$$

которое связывает микровращения на граничных плоскостях с поступательным движением.

Рассмотрим случай, когда в течении отсутствует зона “сильного” твердотельного движения, а имеется только зона “слабого” твердотельного движения, в которой  $\partial_y v \neq 0$ ,  $\partial_y w = 0$ . Заменяем краевые условия (4) на следующие:

$$v|_{y=-H} = 0, \quad v|_{y=H} = v_H, \quad w|_{y=\pm H} = w_1 \quad (w_1 > 0).$$

По-прежнему выполняются уравнения (2). Как и выше, будем искать решение, для которого  $S_{12} = 0$ . Поэтому выполняются равенства (5) и (6). Покажем, что можно подобрать параметры  $w_1$  и  $v_H$ , так чтобы “слабая” твердотельная зона занимала слой  $|y| < h$ , а функция  $w(y)$  являлась четной и положительной.

В жидкой зоне  $h < y < H$  функция  $w$  является решением краевой задачи

$$0 = \partial_y^2 w - \lambda^2 w - \tau_*/\gamma, \quad \partial_y w|_{y=h} = 0, \quad w|_{y=H} = w_1,$$

а в жидкой зоне  $-H < y < -h$  — решением краевой задачи

$$0 = \partial_y^2 w - \lambda^2 w - \tau_*/\gamma, \quad \partial_y w|_{y=-h} = 0, \quad w|_{y=-H} = w_1.$$

Эти решения имеют вид

$$w = w_1 - \frac{w_h [\operatorname{ch}\lambda h - \operatorname{ch}\lambda(-h-y)]}{\operatorname{ch}\lambda h}, \quad -H < y < -h,$$

$$w = w_1 - \frac{w_h [\operatorname{ch}\lambda(H-h) - \operatorname{ch}\lambda(y-h)]}{\operatorname{ch}\lambda(H-h)}, \quad h < y < H.$$

Условие  $w(-h) = w(h)$  выполняется автоматически в силу симметрии задачи. При этом спин в твердотельной зоне определяется по формуле

$$w(h) = w_1 - \frac{\tau_*(1+\varepsilon)(\operatorname{ch}\lambda h - 1)}{4\mu_1\varepsilon} \equiv w_p.$$

Следует отметить, что условие  $w_p > 0$  накладывает ограничение на граничные микровращения  $w_1$ .

Для определения толщины “слабого” твердотельного слоя  $h$  используем формулу (3) для представления функции  $N_{32}$ . Так как  $w_y > 0$  при  $y > h$  и  $w_y < 0$  при  $y < -h$ , то  $N_{32}|_{y=\pm h} = \pm\tau_{n1}$ .

Поскольку в жидкой и твердотельной областях течения  $b \neq 0$ , представление (6) для  $S_{21}$  справедливо в любой точке  $y$  интервала  $|y| < H$ . Так как  $w > 0$ , то

$$S_{21} = -4\mu_1\varepsilon w_p/(1+\varepsilon) - \tau_*, \quad |y| < h.$$

Интегрируя первое равенство в (2) по интервалу  $(-h, h)$ , получаем уравнение для определения величины  $h$

$$0 = 2\tau_{n1} - 2h(\tau_* + 4\mu_1\varepsilon w_p(h)/(1+\varepsilon)). \quad (8)$$

При достаточно больших  $w_1$  уравнение (8) всегда имеет решение, для которого  $h < H$ . Действительно, уравнение (8) можно записать в виде

$$F(h) = 2 + \frac{4\mu_1\varepsilon w_1}{\tau_*(1+\varepsilon)}, \quad F(h) \equiv \operatorname{ch} \lambda h + \frac{\tau_{n1}}{\tau_* h}.$$

Пусть  $w_1$  удовлетворяет условию

$$2 + \frac{4\mu_1\varepsilon w_1}{\tau_*(1+\varepsilon)} \geq \min_{0 < h < H} F(h),$$

тогда уравнение (8) имеет решение, поскольку  $F(h) \rightarrow \infty$  при  $h \rightarrow 0$ . Очевидно,  $h(w_1) \rightarrow 0$  при  $w_1 \rightarrow \infty$ .

После того как установлено значение  $h$  и найдена функция  $w(y)$ , можно определить остальные неизвестные. В частности,

$$S_{12} = 0, \quad S_{21} = -\frac{4\mu_1\varepsilon w}{1+\varepsilon} - \tau_*, \quad N_{32}|_{|y|>h} = \gamma \partial_y w + \tau_{n1} \operatorname{sign} w_y, \quad v_H = v(y)|_{y=H}$$

где

$$v(y) = -\frac{2\varepsilon}{1+\varepsilon} \int_0^y w dy.$$

Так как в твердотельной зоне  $w(y) = \operatorname{const} = w_p$ , то в этой зоне скорость  $v(y)$  линейно зависит от  $y$ :

$$v = v_- - \frac{2\varepsilon w_p(y+h)}{1+\varepsilon}, \quad |y| < h, \quad v_{\pm} = v(\pm h).$$

Такое течение можно трактовать как вращение абсолютно твердого тела: скорости точек на оси  $y$  в твердотельной зоне таковы, что эти точки можно считать “вмороженными” в некоторое абсолютно твердое тело, которое вращается с эффективной угловой скоростью  $2\varepsilon w_p/(1+\varepsilon)$  в положительном направлении вокруг точки на оси  $y$  с координатой  $y = h(v_- + v_+)/(v_+ - v_-)$ . Так как  $S_{21} = \operatorname{const}$  в твердотельной зоне, то в этой зоне  $N_{32}(y)$  меняется по линейному закону:

$$N_{32} = (y+h)(4\mu_1\varepsilon w_p/(1+\varepsilon) + \tau_*) - \tau_{n1}, \quad |y| < h.$$

На рис. 2 представлены профили скорости и спина, на рис. 3 — профили напряжений. Заметим, что вне твердотельной зоны скорость не является линейной функцией, так как  $\partial_y^2 v < 0$  при  $y > h$  и  $\partial_y^2 v > 0$  при  $y < -h$ .

В случае  $\tau_{n1}/\tau_* < H$  приведенное выше решение со “слабой” твердотельной зоной преобразуется в решение с “сильной” твердотельной зоной, если  $w_1$  и  $h$  удовлетворяют условиям

$$w_1 = \frac{\tau_*(1+\varepsilon)}{4\mu_1\varepsilon} (\operatorname{ch} \lambda(H-h) - 1), \quad h = \frac{\tau_{n1}}{\tau_*}.$$

При этом

$$w = w_p = 0, \quad \partial_y v = 0, \quad |y| < h.$$

Соответствующие профили скорости и спина представлены на рис. 4.

**Одномерные течения в ячейке Хеле-Шоу.** Проведем асимптотический анализ течения микрополярной жидкости Бингама в канале, считая толщину канала малой. Перейдем к безразмерным переменным:

$$v = Vv', \quad y = Hy', \quad w = w_0w'.$$

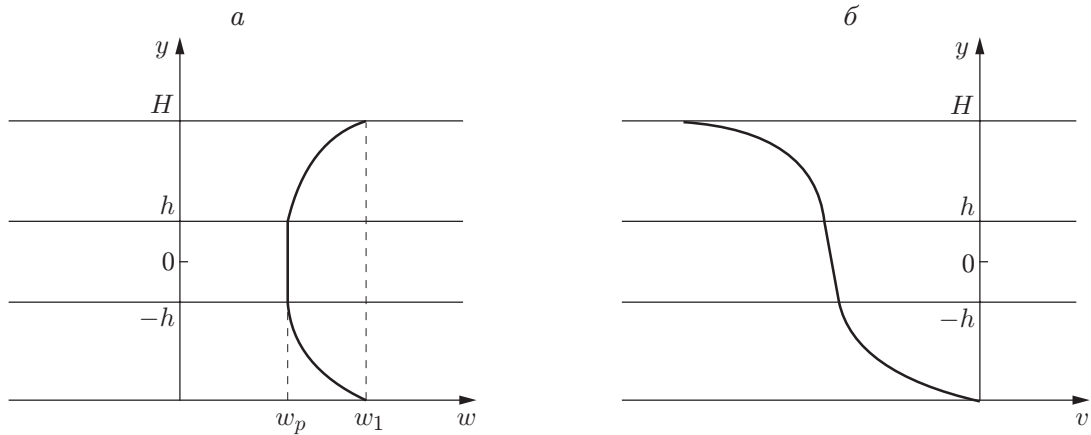


Рис. 2. Профили спина (*a*) и скорости (*б*) для течения со “слабой” твердотельной зоной при краевых условиях  $w|_{y=\pm H} = \pm w_1$ ,  $w_1 > 0$ ,  $v|_{y=-H} = 0$ ,  $v|_{y=H} = v_H(w_1)$

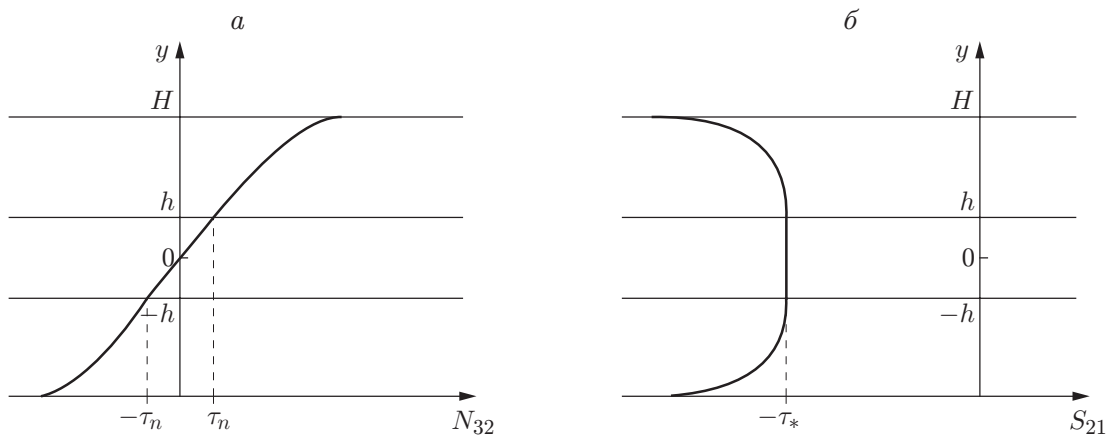


Рис. 3. Профили пар напряжений  $N_{32}$  (*a*) и напряжений  $S_{21}$  (*б*) для течения со “слабой” твердотельной зоной при краевых условиях  $w|_{y=\pm H} = \pm w_1 > 0$ ,  $v|_{y=-H} = 0$ ,  $v|_{y=H} = v_H(w_1) < 0$

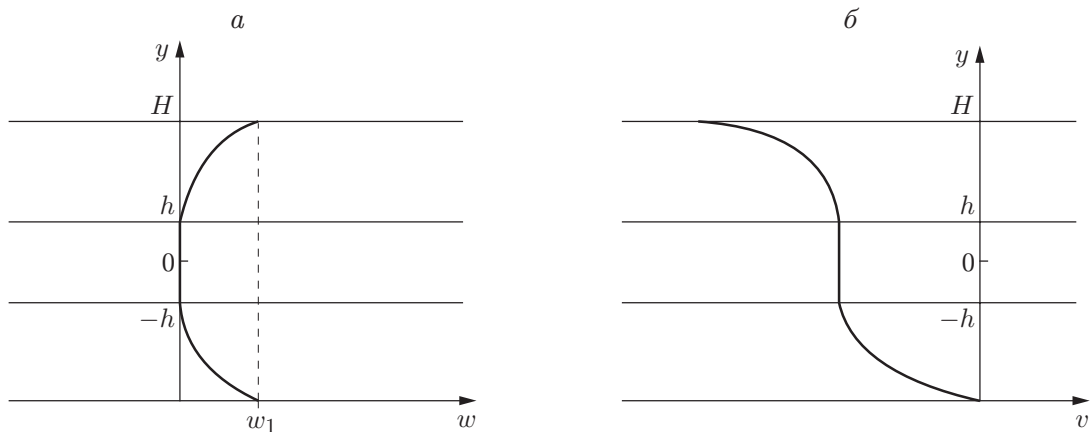


Рис. 4. Профили спина (*a*) и скорости (*б*) для течения с “сильной” твердотельной зоной при краевых условиях  $w|_{y=\pm H} = \pm w_1$ ,  $w_1 > 0$ ,  $v|_{y=-H} = 0$ ,  $v|_{y=H} = v_H(w_1) < 0$

Здесь

$$V = L/T, \quad w_0 = 1/T, \quad H/L = \delta,$$

$L$ ,  $V$ ,  $w_0$ ,  $T$  — характерные длина, скорость, частота и время, причем  $w_0 = 1/T$ . Параметр  $\delta$  считается малым. В случае одномерного течения вдоль оси  $x_1 \equiv x$  единственными ненулевыми компонентами тензора  $S$  являются  $S_{12}$  и  $S_{21}$ . В новых переменных для жидкой зоны ( $\partial_y v \neq 0$ ) имеем

$$S_{12} = \frac{2\mu_1 w_0}{\delta} \left[ \frac{\partial_{y'} v'}{2} + \varepsilon \left( \frac{\partial_{y'} v'}{2} + \delta w' \right) \right] + \tau_1 \frac{\partial_{y'} v'/2 + \varepsilon(\partial_{y'} v'/2 + \delta w')}{\sqrt{2[(\partial_{y'} v'/2)^2 + \varepsilon^2(\partial_{y'} v'/2 + \delta w')^2]}},$$

где

$$\tau_1 = \tau_* / \sqrt{2(1 + \varepsilon^2)}.$$

Пренебрегая малым членом  $\delta w'$ , в размерных переменных получаем представления

$$\begin{aligned} \tilde{S}_{12} &= \tilde{S}_{21} = \mu_1 \partial_y v + \tau_1 \operatorname{sign} \partial_y v, \\ S_{12} &= (1 + \varepsilon) \tilde{S}_{12}, \quad S_{21} = (1 - \varepsilon) \tilde{S}_{21}, \quad \partial_y v \neq 0. \end{aligned}$$

Так как в жидких зонах  $\tilde{S}_{12} = \tilde{S}_{21}$ , то свойство симметрии естественно распространить на твердотельную зону  $|y| < h$ , в которой  $\partial_y v = 0$ ,  $w = 0$ . При  $|y| < H$  уравнения (2) принимают вид

$$0 = -p_x y + (1 + \varepsilon) \tilde{S}_{12}, \quad 0 = \partial_y N_{32} + (1 - \varepsilon) \tilde{S}_{21} - (1 + \varepsilon) \tilde{S}_{12},$$

где

$$\begin{aligned} N_{32} &= \gamma w_y + \tau_{n1} \operatorname{sign} \partial_y w, \quad \partial_y w \neq 0, \\ |N_{32}| &\leq \tau_{n1}, \quad \partial_y w = 0, \quad |\tilde{S}_{12}| \leq \tau_1, \quad \partial_y v = 0. \end{aligned}$$

Краевые условия выбираются в виде условий проскальзывания [14]

$$v|_{y=\pm H} = 0, \quad w + \Lambda \partial_y v|_{y=\pm H} = 0, \quad (9)$$

где  $\Lambda = \text{const}$ ,  $0 < \Lambda < 1$ .

Будем искать решение задачи, для которого  $v(y)$ ,  $w(y)$  — четная и нечетная функции соответственно. Полагая  $p_x < 0$ , найдем толщину твердотельного слоя из условия

$$(1 + \varepsilon) \tilde{S}_{12}|_{y=h} = -(1 + \varepsilon) \tau_1 = p_x h.$$

Тогда

$$h = \tau_1 (1 + \varepsilon) / |p_x|.$$

Введем число Бингама

$$\beta_1 = \frac{|p_x| H}{\tau_1 (1 + \varepsilon)} \equiv \frac{|p_x| H \sqrt{2(1 + \varepsilon^2)}}{\tau_* (1 + \varepsilon)}.$$

Условие  $h < H$  означает, что  $\beta_1 > 1$ . Если градиент давления мал, т. е.  $\beta_1 \leq 1$ , то течение отсутствует.

Из первого уравнения в (9) находим

$$\partial_y v = \frac{p_x y}{\mu_1 (1 + \varepsilon)} + \frac{\tau_1}{\mu_1} \operatorname{sign} y, \quad |y| > h. \quad (10)$$

Интегрируя уравнение (10) и используя краевые условия (9), получаем представление для скорости в жидкой зоне

$$v(y) = -\frac{p_x(H^2 - y^2)}{2\mu_1(1 + \varepsilon)} + \frac{\tau_1}{\mu_1} (|y| - H), \quad |y| > h.$$

Следовательно, скорость в твердотельной зоне равна

$$v(y) = v(h) = -\frac{p_x(H - h)^2}{2\mu_1(1 + \varepsilon)} \equiv v_p, \quad |y| < h.$$

Результаты вычислений показывают, что выражение для средней скорости  $U = \frac{1}{2H} \int_{-H}^H v dy$  имеет вид

$$U = - \begin{cases} 0, & |p_x| \leq \tau_*(1 + \varepsilon)/(H\sqrt{2(1 + \varepsilon^2)}) \equiv p_l, \\ p_x H^2 / (3\mu_a(|p_x|, \varepsilon, H, \tau_*)), & |p_x| > p_l, \end{cases} \quad (11)$$

где  $\mu_a$  — кажущаяся вязкость:

$$\mu_a = \frac{\mu_1(1 + \varepsilon)}{f(\beta_1)}, \quad f(\beta_1) = \frac{1}{2} \left(1 - \frac{1}{\beta_1}\right)^2 \left(2 + \frac{1}{\beta_1}\right).$$

Нетрудно показать, что вязкость  $\mu_a$  и предельный градиент давления  $p_l$  возрастают с увеличением  $\varepsilon$  в интервале  $0 < \varepsilon < 1$ . Если  $\tau_* = 0$ ,  $\varepsilon = 0$ , то справедливо равенство  $\mu_a = \mu_1$ , поэтому представление (11) совпадает с известной формулой для скорости в теории смазки [2]. Таким образом, учет микровращений влияет как на кажущуюся вязкость, так и на величину предельного градиента давления, причем с увеличением модуля градиента давления кажущаяся вязкость уменьшается по нелинейному закону:

$$\mu_a|_{|p_x|=p_l} = \infty, \quad \mu_a|_{|p_x|=\infty} = \mu_1(1 + \varepsilon).$$

Рассмотрим микрополярную жидкость Хершеля — Балкли, для которой постоянная вязкость  $\mu_1$  заменяется функцией

$$\mu_1 = \mu_0 I_2^{(n-1)/2}, \quad I_2 = \omega_0^{-2} D : D.$$

Здесь  $I_2$  — безразмерный второй инвариант тензора  $D$ ;  $\omega_0$  — характерная частота; условия  $n = 1$ ,  $n > 1$ ,  $n < 1$  соответствуют ньютоновской, дилатантной и псевдопластической жидкостям. В случае одномерного течения в слое  $|y| < H$  в направлении оси  $x$  справедливо выражение  $I_2 = |\partial_y v|^2 / (2\omega_0^2)$ .

Для жидкости Хершеля — Балкли вместо (10) следует использовать равенство

$$\mu_1(\partial_y v) \partial_y v = p_x y / (1 + \varepsilon) + \tau_1 \operatorname{sign} y. \quad (12)$$

В предположении, что  $p_x < 0$ , из определений числа Бингама  $\beta_1$  и толщины твердотельного слоя  $h$  следует

$$\frac{p_x y}{1 + \varepsilon} + \tau_1 = \tau_1 \left(1 - \frac{\beta_1 y}{H}\right) = \tau_1 \left(1 - \frac{y}{h}\right), \quad y > h.$$

Для четной функции  $v(y)$  равенство (12) эквивалентно равенству

$$\partial_y v = -\sqrt{2} \omega_0 \operatorname{sign} y \left( \frac{\tau_1 (|y|/h - 1)}{\sqrt{2} \mu_0 \omega_0} \right)^{1/n}, \quad |y| > h.$$

Интегрируя это выражение с учетом краевых условий (9), получаем представление для скорости

$$v(y) = A \left[ \left( \frac{H}{h} - 1 \right)^{1+1/n} - \left( \frac{|y|}{h} - 1 \right)^{1+1/n} \right], \quad |y| > h,$$

где

$$A = \frac{n\sqrt{2}\omega_0 h}{n+1} \left( \frac{\tau_1}{\sqrt{2}\omega_0\mu_0} \right)^{1/n}.$$

В частности, в твердотельной зоне скорость равна

$$v_p \equiv v(h) = A(H/h - 1)^{1+1/n}.$$

Нетрудно получить выражение для средней скорости

$$U \equiv \frac{1}{2H} \int_{-H}^H v dy = - \begin{cases} 0, & |p_x| \leq p_l, \\ p_x H^2 / (3\mu_a(|p_x|, \varepsilon, H, \tau_*)), & |p_x| > p_l, \end{cases} \quad (13)$$

где

$$p_l = \frac{\tau_*(1+\varepsilon)}{H\sqrt{2(1+\varepsilon^2)}}, \quad \mu_a = \frac{\mu_1(1+\varepsilon)}{f(\beta_1)} \left( \frac{\tau_1}{\sqrt{2}\omega_0\mu_0} \right)^{1-1/n},$$

$$f(\beta_1) = \frac{3n^2}{(n+1)(2n+1)} \left( 1 - \frac{1}{\beta_1} \right)^{1+1/n} \left( 1 + \frac{1}{n} + \frac{1}{\beta_1} \right) \left( \frac{1}{\beta_1} \right)^{1-1/n}.$$

Заметим, что при  $n = 1$  формулы (11) и (13) совпадают.

**Двумерные течения в ячейке Хеле-Шоу.** Рассмотрим обобщение формулы (13) на случай двумерных течений в слое  $|x_2| < H$ ,  $x_2 \equiv y$  при наличии заданного градиента давления

$$\nabla p = (\partial_{x_1} p, 0, \partial_{x_3} p)^T = \text{const}.$$

Сначала исследуем жидкость Бингама. По-прежнему будем полагать, что скорость и спин  $(v_1, 0, v_3)$ ,  $(w_1, 0, w_3)$  зависят лишь от поперечной координаты  $y$ . Для таких течений

$$D_{12} = \partial_y v_1 / 2, \quad D_{23} = \partial_y v_3 / 2, \quad D_{21} = D_{12}, \quad D_{32} = D_{23},$$

$$R_{12} = \partial_y v_1 / 2 + w_3, \quad R_{23} = -\partial_y v_3 / 2 + w_1, \quad R_{21} = -R_{12}, \quad R_{32} = -R_{23}.$$

Остальные компоненты тензоров  $D$  и  $R$  равны нулю. Введем двумерные векторы

$$\mathbf{v} = (v_1, v_3)^T, \quad \mathbf{w}^\perp = (w_3, -w_1)^T, \quad \nabla p = (\partial_{x_1} p, \partial_{x_3} p)^T.$$

Тогда

$$S_{ij} = 2\mu_1(D_{ij} + \varepsilon R_{ij}) + (\tau_*/b)(D_{ij} + \varepsilon R_{ij}), \quad b \neq 0,$$

где

$$b^2/2 = |\partial_y \mathbf{v}/2|^2 + \varepsilon^2 |\partial_y \mathbf{v}/2 + \mathbf{w}^\perp|^2.$$

Введем также обозначения

$$\tilde{S}_{12} = \frac{S_{12}}{1+\varepsilon}, \quad \tilde{S}_{32} = \frac{S_{32}}{1+\varepsilon}, \quad \tilde{S}_{21} = \frac{S_{21}}{1-\varepsilon}, \quad \tilde{S}_{23} = \frac{S_{23}}{1-\varepsilon}.$$

Как и в одномерном случае, при малой толщине слоя матрица  $\tilde{S}_{ij}$  симметрична и справедливо представление

$$(\tilde{S}_{12}, \tilde{S}_{32})^T \equiv \frac{\partial_y \mathbf{v}}{2} \left( 2\mu_1 + \frac{\tau_1}{|\partial_y \mathbf{v}/2|} \right), \quad \partial_y \mathbf{v} \neq 0. \quad (14)$$

Кроме того,

$$\tilde{S}_{12}^2 + \tilde{S}_{32}^2 \leq \tau_1^2, \quad \partial_y \mathbf{v} = 0. \quad (15)$$

Уравнения импульсов имеют вид

$$0 = -\partial_{x_1} p + \partial_y S_{12}, \quad 0 = -\partial_{x_3} p + \partial_y S_{32}.$$

Интегрируя эти уравнения с учетом нечетности функций  $S_{12}$  и  $S_{32}$ , получаем

$$(\tilde{S}_{12}, \tilde{S}_{32})^T = y \nabla p / (1 + \varepsilon).$$

Отсюда с помощью условия (15) находим толщину твердотельного слоя

$$h = \tau_1 (1 + \varepsilon) / |\nabla p|.$$

Используя (14), получаем равенство

$$\frac{\partial_y \mathbf{v}}{2} \left( 2\mu_1 + \frac{\tau_1}{|\partial_y \mathbf{v}/2|} \right) = \frac{y \nabla p}{1 + \varepsilon}, \quad |y| > h,$$

из которого сначала находим модуль вектора  $\partial_y \mathbf{v}$ , а затем и сам вектор:

$$\left| \frac{\partial_y \mathbf{v}}{2} \right| = \frac{|\nabla p| (|y| - h)}{2\mu_1 (1 + \varepsilon)}, \quad \frac{\partial_y \mathbf{v}}{2} = \text{sign } y \frac{\nabla p (|y| - h)}{2\mu_1 (1 + \varepsilon)}, \quad |y| > h.$$

Путем интегрирования последнего равенства, как и в одномерном случае, получаем выражение для средней скорости

$$\mathbf{U} = - \begin{cases} 0, & |\nabla p| \leq \tau_*(1 + \varepsilon) / (H \sqrt{2(1 + \varepsilon^2)}) \equiv p_l, \\ H^2 \nabla p / (3\mu_a(|\nabla p|, \varepsilon, H, \tau_*)), & |\nabla p| > p_l, \end{cases} \quad (16)$$

где

$$\mu_a = \mu_1 (1 + \varepsilon) / f(\beta_1),$$

$$f(\beta_1) = \frac{1}{2} \left( 1 - \frac{1}{\beta_1} \right)^2 \left( 2 + \frac{1}{\beta_1} \right), \quad \beta_1 = \frac{|\nabla p| H \sqrt{2(1 + \varepsilon^2)}}{\tau_*(1 + \varepsilon)}.$$

Обобщая полученные результаты на случай микрополярной жидкости Хершеля — Балкли, имеем

$$\mathbf{U} = - \begin{cases} 0, & |\nabla p| \leq \tau_*(1 + \varepsilon) / (H \sqrt{2(1 + \varepsilon^2)}) \equiv p_l, \\ H^2 \nabla p / (3\mu_a(|\nabla p|, \varepsilon, H, \tau_*)), & |\nabla p| > p_l, \end{cases} \quad (17)$$

где

$$\mu_a = \frac{\mu_1 (1 + \varepsilon)}{f(\beta_1)} \left( \frac{\tau_1}{\sqrt{2}\omega_0\mu_0} \right)^{1-1/n},$$

$$f(\beta_1) = \frac{3n^2}{(n+1)(2n+1)} \left( 1 - \frac{1}{\beta_1} \right)^{1+1/n} \left( 1 + \frac{1}{n} + \frac{1}{\beta_1} \right) \left( \frac{1}{\beta_1} \right)^{1-1/n}.$$

**Заключение.** В отличие от течения ньютоновской вязкой жидкости одномерное течение микрополярной вязкопластической жидкости Хершеля — Балкли между двумя параллельными плоскостями обладает рядом особенностей. Вследствие наличия предельного напряжения сдвига внутри слоя могут возникать твердотельные зоны течения двух типов: 1) скорость внутри твердотельного слоя не зависит от вертикальной координаты; 2) скорость является линейной функцией вертикальной координаты. В первом случае внутри твердотельного слоя локальные микровращения отсутствуют, во втором случае локальный спин не зависит от вертикальной координаты.

В случае когда толщина слоя мала, методом асимптотического анализа исследовано течение типа течения Хеле-Шоу, возникающее под действием градиента давления. Получено обобщение закона Дарси для средней (по вертикальной координате) скорости в зависимости от градиента давления. В отличие от модели ньютоновской вязкой жидкости в модели, учитывающей микровращения, происходит увеличение кажущейся вязкости. Такая вязкость является убывающей функцией модуля градиента давления, причем она обращается в бесконечность, когда градиент давления достигает значений, равных предельному градиенту.

В случае вязкопластических течений учет микровращений приводит к увеличению предельного градиента давления, который препятствует возникновению течений при малых градиентах давления.

### ЛИТЕРАТУРА

1. **Shelukhin V. V., Ružička M.** On Cosserat — Bingham fluids // *Z. angew. Math. Mech.* 2013. Bd 93, N 1. S. 57–72.
2. **Economides M. J.** Reservoir simulation. 3rd ed. / M. J. Economides, K. G. Nolte. Chichester: Wiley, 2000.
3. **Hieber C. A.** Melt viscosity characterization and its applications to injection molding // *Injection and compression molding fundamentals* / Ed. by A. I. Isaev. N. Y.: Marcel Dekker, 1987. Chap. 1.
4. **Van Doorn C. Z.** Dynamic behavior of twisted nematic liquid-crystal layers in switched fields // *J. Appl. Phys.* 1975. V. 46. P. 3738–3746.
5. **Kondic L., Shelley M. J., Palffy-Muhoray P.** Non-Newtonian Hele-Shaw flow and the Saffman — Taylor instability // *Phys. Rev. Lett.* 1998. V. 80, N 7. P. 1433–1436.
6. **Cosserat E.** Théorie des corps déformables / E. Cosserat, F. Cosserat. P.: Herman et Fils, 1909.
7. **Eringen A. C.** Microcontinuum field theories. N. Y.: Springer-Verlag, 1999.
8. **Duvaut G., Lions J. L.** Inequalities in mechanics and physics. Berlin: Springer-Verlag, 1976.
9. **Basov I. V., Shelukhin V. V.** Generalized solutions to the equations of compressible Bingham flows // *Z. angew. Math. Mech.* 1999. Bd 79, N 3. S. 185–192.
10. **Basov I. V., Shelukhin V. V.** Nonhomogeneous incompressible Bingham viscoplastic as a limit of nonlinear fluids // *J. Non-Newtonian Fluid Mech.* 2007. V. 142. P. 95–103.
11. **Málek J., Ružička M., Shelukhin V. V.** Herschel — Bulkley fluids: existence and regularity of steady flows // *Math. Models Methods Appl. Sci.* 2005. V. 15, N 12. P. 1845–1861.
12. **Shelukhin V. V.** Bingham viscoplastic as a limit of non-Newtonian fluids // *J. Math. Fluid Mech.* 2002. V. 4, N 2. P. 1–19.
13. **Amirat Y., Shelukhin V.** Nonhomogeneous incompressible Herschel — Bulkley fluid flows between two eccentric cylinders // *J. Math. Fluid Mech.* 2013. V. 15, N 4. P. 635–661.
14. **Мигун Н. П.** Гидродинамика и теплообмен градиентных течений микроструктурной жидкости / Н. П. Мигун, П. П. Прохоренко. Минск: Наука и техника, 1984.

*Поступила в редакцию 20/1 2014 г.*